

## 靶向 survivin 的 siRNA 诱导胰腺癌细胞凋亡的实验研究

管海涛<sup>1</sup>, 薛兴欢<sup>1</sup>, 王西京<sup>1</sup>, 李 昂<sup>2</sup>, 秦兆寅<sup>3</sup> (西安交通大学第二医院<sup>1</sup>肿瘤外科,<sup>3</sup>普通外科, 陕西 西安 710004;<sup>2</sup>西安交通大学口腔医院医学研究中心, 陕西 西安 710004)

**摘要:** 目的 采用 RNA 干扰技术(siRNA)阻断 survivin 基因的表达, 观察其抑制胰腺癌细胞增殖及诱导胰腺癌细胞凋亡的作用。方法 构建靶向 survivin 的 siRNA 质粒表达载体, 采用 Lipofectamine<sup>TM</sup>2000 转染胰腺癌细胞 PC-2, 采用半定量 RT-PCR、免疫组化技术检测转染前后 PC-2 细胞 survivin 基因表达的变化; 采用 MTT 法检测对 PC-2 细胞增殖的抑制作用; 采用流式细胞术检测其诱导 PC-2 细胞凋亡的作用。结果 靶向 survivin 的序列特异性的 siRNA 可以高效地抑制 PC-2 细胞 survivin 基因表达, 在 mRNA 水平其表达抑制率为 81.25%, 在蛋白质水平其表达抑制率为 74.24%。转染靶向 survivin 的 siRNA 质粒表达载体可以显著抑制 PC-2 细胞的增殖, 细胞接种 24、48 h 后其增殖抑制率分别为 28.00% 和 33.38%; 转染后 24、48 h 可以诱导 8.46%、7.53% 的细胞凋亡。结论 所构建的靶向 survivin 的 siRNA 质粒表达载体可以有效地阻断 PC-2 细胞 survivin 基因表达, 阻断 survivin 基因表达可以显著地抑制 PC-2 细胞的增殖并在一定程度上诱导其凋亡, 靶向 survivin 的 siRNA 在胰腺癌的基因治疗中具有一定的价值。

**关键词:** RNA 干扰; survivin; 胰腺癌; 凋亡

中图分类号:R735.9 文献标识码:A 文章编号:1673-4254(2006)02-0169-05

### siRNA targeted against survivin induces apoptosis of pancreatic cancer cells

GUAN Hai-tao<sup>1</sup>, XUE Xing-huan<sup>1</sup>, WANG Xi-jing<sup>1</sup>, LI Ang<sup>2</sup>, QIN Zhao-yin<sup>3</sup>

Department of Oncologic Surgery<sup>1</sup>, Department of General Surgery<sup>3</sup>, Second Hospital of Xi'an Jiaotong University; <sup>2</sup>Medical Research Center, Stomatological Hospital of Xi'an Jiaotong University, Xi'an 710004, China

**Abstract: Objective** To investigate the effect of a sequence-specific small interfering RNA (siRNA) in suppressing survivin expression and cell proliferation and inducing apoptosis of PC-2 cells. **Methods** The plasmid expression vector of siRNA targeted against survivin was constructed and transfected into PC-2 cells with Lipofectamine<sup>TM</sup>2000. The changes of survivin expression were detected by semi-quantitative RT-PCR and immunohistochemical SP methods. The effect of siRNA in suppressing the proliferation of PC-2 cells was detected by MTT assay, and its role in inducing PC-2 cell apoptosis evaluated by flow cytometry. **Results** The sequence-specific siRNA effectively suppressed survivin expression at both mRNA and protein levels with inhibition rate of 81.25% at mRNA level and 74.24% at protein level. Survivin expression suppression significantly inhibited the proliferation of PC-2 cells, and at 24 and 48 h after cell seeding, the proliferation inhibition rate was 28.00% and 33.38% respectively; 24, 48 h after the transfection, apoptosis occurred in 8.46% and 7.53% of the cells, respectively. **Conclusions** The plasmid expression vector for the siRNA against survivin constructed in the study can effectively and specifically suppress survivin expression in PC-2 cells, and blocking survivin expression suppresses PC-2 cell proliferation and induces cell apoptosis. siRNA targeted against survivin has a potential value in gene therapy for pancreatic cancer.

**Key words:** RNA interference; survivin; pancreatic cancer; apoptosis

Survivin 基因是于 1997 年发现的凋亡抑制蛋白家族成员之一, 具有抗凋亡和调节细胞周期的双重功能。survivin 的表达具有高度的特异性, 在多数肿瘤组织中存在着过表达, 而在大多数正常组织中不表达, 是肿瘤基因治疗的理想靶点。RNA 干扰(RNAi)是双链 RNA 介导的转录后基因沉默, 具有高度的特异性和有效性, 正成为基因功能研究的有力工具。因此我们构建了靶向 survivin 的小干扰 RNA(siRNA)质粒

表达载体并转染胰腺癌 PC-2 细胞, 观察其抑制 PC-2 细胞增殖及诱导其凋亡的作用。

### 1 材料和方法

#### 1.1 胰腺癌细胞株和培养

胰腺癌细胞株 PC-2 购自第四军医大学动物实验中心, 为贴壁细胞。采用含 100 ml/L 小牛血清、1×10<sup>5</sup> U/L 青霉素、0.1 g/L 链霉素的 RPMI 1640 培养基在 37 °C、50 ml/L CO<sub>2</sub>、饱和湿度的条件下传代培养。

#### 1.2 靶向 survivin 的 siRNA 质粒表达载体的构建

质粒 Pgenesil-1 购自武汉晶赛生物工程技术有限公司。用 BamHI、HindIII 双酶切使其线性化, 1% 低熔点琼脂糖凝胶回收大片段。针对目的基因 survivin

收稿日期:2005-08-22

基金项目:陕西省科技攻关项目[2004K13-G11(1)]

Supported by the Key Science and Technology Research Project of Shaanxi Province [2004K13-G11(1)]

作者简介:管海涛(1971-), 男, 在读博士研究生, 主治医师

的序列 5'-GGA CCA CCG CAT CTC TAC A-3<sup>[1]</sup>设计两条 DNA 链, 一条为: 5'-GATCC GGA CCA CCG CAT CTC TAC A TTCAA GACG TGT AGA GAT GCG GTG GTC C TTTTTT GAATTCA A-3'; 另一条为 3'-GCCT GGT GGC GTA GAG ATG T AAAGTTCTGC ACA TCT CTA CGC CAC CAG G AAAAAA CTTAAG TTCGA-5', DNA 链的结构为 *Bam*H<sup>+</sup> 正义链 + 环状结构 + 反义链 + 中止信号 + *Eco*RI + *Hind*III。上述两条 DNA 链退火并磷酸化后与线性化质粒载体 Pgenesil-1 连接。取连接产物转化感受态细胞 DH5 $\alpha$ , 涂布于含 0.05 g/L 卡那霉素的固体 LB 平板上, 37 °C 恒温培养过夜。从每个培养皿上各挑取 3 个单克隆菌落接种于 3 ml 含 0.05 g/L 卡那霉素的 LB 液体培养液中, 37 °C 恒温摇床培养过夜。提取质粒并酶切鉴定、测序。所得质粒命名为 Pgenesil-sur(+)。同法构建阴性对照质粒命名为 Pgenesil-sur (-), 其靶序列为: 5'-GAC TTC ATA AGG CGC ATG C-3', 该序列与人、鼠无同源性。两条 DNA 链的序列为: 5'-GATCC GAC TTC ATA AGG CGC ATG C TTCAA GACG GCA TGC GCC TTA TGA AGT C TTTTTT GTCGAC A-3' 和 3'-G CTG AAG TAT TCC GCG TAC G AAG TTCTGC CGT ACG CGG AAT ACT TCA G AAAAAA CAGCTG TTCGA-5', 其结构为 *Bam*H<sup>+</sup> 正义链 + 环状结构 + 反义链 + 中止信号 + *Sal*I + *Hind*III。

### 1.3 质粒的提取

中量无内毒素质粒提取试剂盒购自北京天为时代公司, 按试剂盒操作说明提取质粒, 紫外分光光度计测定其浓度和纯度, -20 °C 保存备用。

### 1.4 PC-2 细胞的转染

以 24 孔细胞培养板为例。转染试剂 lipofectamine<sup>TM</sup>2000 购自 Invitrogen 公司。常规消化收集细胞后, 将细胞接种于 24 孔培养板。转染前 1 d 换用不含抗生素、含有血清的培养基。待细胞生长至密度为 70%~80% 时, 进行转染。用不含抗生素和血清的培养基将质粒 0.8  $\mu$ g, lipofectamine<sup>TM</sup>2000 2.4  $\mu$ l 分别稀释至 50  $\mu$ l, 混匀后室温放置 5 min, 然后将二者混合均匀, 室温放置 20 min 后加入培养孔中。多孔转染, 按上述比例批量制作转染混合物后进行转染。转染后 6 h, 换用普通完全培养基, 12 h 后于倒置荧光显微镜下观察细胞表达增强绿色荧光蛋白的情况。

### 1.5 半定量 RT-PCR 检测 survivin 基因 mRNA 表达的变化

细胞接种于 6 cm 培养皿, 分为 3 组: (1)空白对照组; (2)阴性对照组; (3)阳性实验组。每组 3 个培养皿。空白对照组转染时仅加入 lipofectamine<sup>TM</sup>2000; 阴性对照组转染时使用 Pgenesil-sur(-)质粒; 阳性实验

组转染时使用 Pgenesil-sur(+)质粒。转染后 24 h 消化收集 1×10<sup>6</sup> 个细胞, 按 Trizol 试剂说明书提取总 RNA。紫外分光光度计测定其浓度和纯度。RT-PCR 反应采用两步法。(1)cDNA 的合成: 采用 RevertAid<sup>TM</sup> 第一链 cDNA 合成试剂盒, 取 1  $\mu$ g 总 RNA, 按操作说明书合成 cDNA; (2)PCR 反应: 采用北京天为时代公司的一管便捷式 PCR 反应试剂盒。内参照 GAPDH 的引物序列采用国际标准序列: 5'-CGA AGT CAA CGG ATT TGG TCG TAT-3' (上游引物); 5'-AGC CTT CTC GGT GGT GAA GAC-3' (下游引物), 扩增产物大小为 306 bp。survivin 的引物序列为: 5'-GCA TGG GTG CCC CGA CGT TG-3' (上游引物); 5'-GCT CCG GCC AGA GGC CTC AA-3' (下游引物), 扩增产物大小为 447 bp。用凝胶成像分析仪进行摄像, 用 Dolphin 1D 软件进行半定量分析。survivin 基因的表达强度用 survivin 基因 RT-PCR 反应产物的光密度与内参照 GAPDH RT-PCR 反应产物光密度的比值表示。按以下公式计算 survivin 基因表达的抑制率: survivin 基因表达的抑制率 = (1 - 观察组 survivin 表达强度 / 对照组 survivin 表达强度) × 100%。

### 1.6 免疫组化法检测 survivin 基因蛋白表达的变化

将细胞接种于置入了细胞爬片的 24 孔培养板中进行转染。分组及转染同 1.5, 每组 8 孔。转染后 24 h 用 65% 丙酮固定细胞, 免疫组化 SP 法检测 survivin 蛋白的表达。一抗为兔抗人单克隆抗体, 购自北京中山公司, 工作浓度为 1:50。阳性对照为已知 survivin 表达阳性的乳腺癌石蜡切片; 用 PBS 缓冲液代替一抗作为阴性对照。阳性表达为胞质或胞核出现棕黄色颗粒。根据细胞着色的深浅将 survivin 基因的表达强度分为: (1)阴性, 细胞不着色, 记 0 分; (2)弱阳性, 细胞呈淡黄色, 记 1 分; (3)阳性, 细胞呈棕黄色, 记 2 分; (4)强阳性, 细胞呈深棕黄色, 记 3 分。每张爬片于高倍镜下随机观察 5 个视野, 计数细胞并对每个细胞进行评分, 最后将评分之和除以细胞总数, 所得数值作为该张细胞爬片 survivin 的表达强度。按 1.5 中的公式计算 survivin 基因表达的抑制率。

### 1.7 MTT 法检测对胰腺癌细胞增殖的抑制作用

将细胞接种于 6 孔培养板中并进行转染, 分组及转染同 1.5。12 h 后消化、收集细胞, 调整细胞浓度为 1×10<sup>7</sup> 个/L, 分别将各组细胞接种于 96 孔培养板, 每组 8 孔, 每孔 200  $\mu$ l。另设对照孔调零, 每个检测时间点接种 1 板, 共 3 板。于细胞接种后 0、24、48 h 采用 MTT 法检测对 PC-2 细胞增殖的抑制率: 增殖的抑制率 = (1 - 观察组 A<sub>490</sub> 值 / 对照组 A<sub>490</sub> 值) × 100%。

### 1.8 流式细胞术检测细胞凋亡

采用 PI 单染法检测 PC-2 细胞凋亡。细胞接种于

6孔培养板,分组及转染同1.5,每组6孔。分别于转染后24、48 h消化收集细胞,每次每组各取3孔细胞。PBS缓冲液洗两遍,用预冷的75%乙醇固定过夜。1000 r/min、5 min离心,倾去上清液,PBS缓冲液洗两遍,加入0.05 g/L的RNase,室温避光30 min,去除细胞内RNA。加入0.06 g/L的PI,室温避光30 min后上机检测。

### 1.9 统计学处理

应用统计学软件SPSS10.0进行统计分析,多组间均数比较采用单因素方差分析(One-way ANOVA)。

## 2 结果

### 2.1 质粒的酶切鉴定和测序结果

质粒Pgenesil-1的多克隆酶切位点如下:HindII-I-XbaI-SalI-PstI-BamHI-U6 Promotor-EcoRI-SalI-XbaI-DraIII。在插入的目的基因片段里,我们设计了一个EcoRI的酶切位点[Pgenesil-sur(+)]或SalI的酶切位点[Pgenesil-sur(-)],插入在质粒Pgenesil-1的BamHI和HindIII之间。若插入正确,就能被EcoRI或SalI酶切出一条约400 bp的小带。经酶切分析Pgenesil-sur(+),Pgenesil-sur(-)均符合设计要求。送转化菌液去上海博亚生物公司测序,测序结果(图1)符合设计要求。

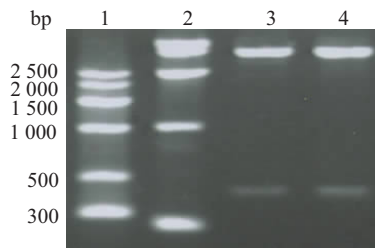


图1 质粒酶切鉴定凝胶电泳图

### Fig.1 Verification of the plasmids digested with restriction endonuclease

Lane 1: MarkerVII; Lane 2: MarkerVI; Lane 3: Pgenesil-sur(+); Lane 4: Pgenesil-sur(-)

### 2.2 PC-2细胞的转染结果

PC-2细胞转染Pgenesil-sur(+)质粒或Pgenesil-sur(-)质粒12 h后,于倒置荧光显微镜下观察可见到有增强绿色荧光蛋白的表达,24 h左右表达最强(图2、3),72 h后增强绿色荧光蛋白的表达逐渐减弱。

### 2.3 半定量RT-PCR检测survivin基因mRNA表达的变化

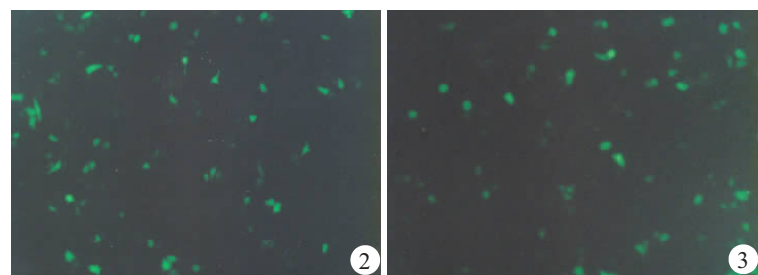


图2 PC-2细胞转染Pgenesil-sur(+)质粒24 h后增强绿色荧光蛋白表达情况

**Fig.2 Expression of EGFP in PC-2 cells 24 h after transfection with plasmid Pgenesil-sur(+) (Original magnification: ×200)**

图3 PC-2细胞转染Pgenesil-sur(-)质粒24 h后增强绿色荧光蛋白表达情况

**Fig.3 Expression of EGFP in PC-2 cells 24 h after transfection with plasmid Pgenesil-sur(-) (Original magnification: ×200)**

EGFP: Enhanced green fluorescent protein

转染后24 h,空白对照组、阴性对照组、阳性实验组survivin mRNA的表达强度(图4)分别为 $0.96\pm0.02$ 、 $0.98\pm0.03$ 和 $0.18\pm0.03$ ,统计分析表明PC-2细胞转染Pgenesil-sur(+)质粒后,survivin的表达被显著抑制( $P<0.05$ ),其抑制率达到81.25%;转染Pgenesil-sur(-)质粒对PC-2细胞survivin表达则无抑制作用( $P>0.05$ )。

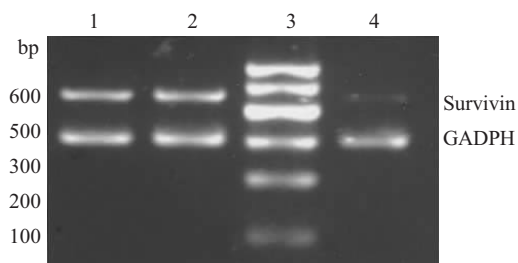


图4 半定量RT-PCR检测survivin基因mRNA表达变化的凝胶电泳图

**Fig.4 Expression of survivin mRNA detected by semi-quantitative RT-PCR**

Lane 1: Blank control group; Lane 2: Negative control group; Lane 3: Marker I; Lane 4: Positive experiment group

### 2.4 免疫组化法检测survivin基因蛋白表达的变化

转染后24 h,空白对照组、阴性对照组、阳性实验组survivin蛋白的表达强度(图5)分别为 $2.29\pm0.23$ 、 $2.34\pm0.15$ 和 $0.59\pm0.16$ ,统计分析表明PC-2细胞转染Pgenesil-sur(+)质粒后,survivin蛋白的表达被显著抑制( $P<0.05$ ),其抑制率达到74.24%;转染Pgenesil-sur(-)质粒对PC-2细胞survivin蛋白的表达则无抑制作用( $P>0.05$ )。

### 2.5 MTT法检测对胰腺癌细胞增殖的抑制作用

MTT法检测结果表明转染Pgenesil-sur(+)质粒后可显著抑制PC-2细胞的增殖,细胞接种后24、48

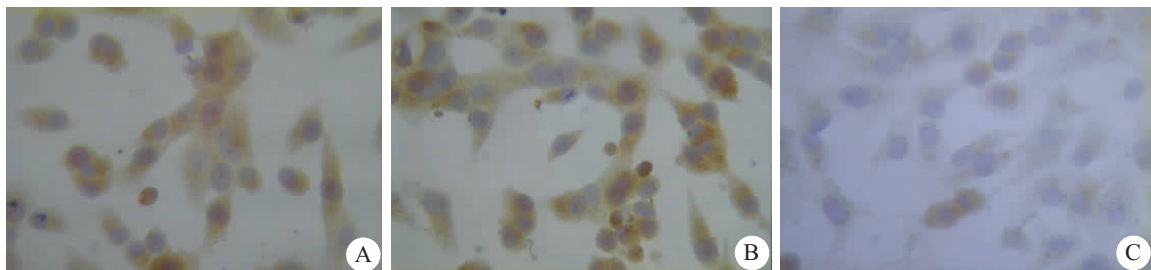


图 5 不同组 survivin 表达情况

**Fig.5 Immunohistochemistry for survivin expression in different groups** (SP methods, original magnification:  $\times 400$ )

A: Blank control group; B: Negative control group; C: Positive experiment group

h的增殖抑制率分别为28.00%和33.38% ( $P<0.05$ )。转染Pgenesil-sur (-)质粒对PC-2细胞的增殖无影响 ( $P>0.05$ )。

## 2.6 流式细胞术检测PC-2细胞的凋亡

转染后24、48 h,空白对照组、阴性对照组均未检测到细胞凋亡,阳性实验组细胞24、48 h的凋亡率分别为(8.46±1.07)%和(7.53±0.93)%。统计结果表明转染Pgenesil-sur(+)质粒后PC-2细胞的凋亡率显著升高( $P<0.05$ ),但阳性实验组细胞24、48 h的细胞凋亡率差异无显著性( $P>0.05$ )。

## 3 讨论

胰腺癌是预后最差的恶性肿瘤之一,手术或化疗后的5年生存率仅为1%~2%。胰腺癌细胞对凋亡的抵抗导致胰腺癌对大多数的抗肿瘤治疗如放疗、化疗、免疫治疗不敏感,这是胰腺癌预后极差的重要原因之一<sup>[2]</sup>。近年来的研究证实survivin与恶性肿瘤的关系密切,survivin在大多数肿瘤组织中存在着高表达,且与肿瘤的发生、发展,与血管形成,与肿瘤的化疗敏感性、放射敏感性以及复发、预后等密切相关,阻断survivin基因的表达,可以诱导肿瘤细胞的凋亡,提高肿瘤细胞对化疗药物和放疗的敏感性,抑制肿瘤血管形成<sup>[3-4]</sup>。对survivin与胰腺癌关系的研究表明,survivin在胰腺癌中也存在着过表达,并通过抑制细胞凋亡参与胰腺癌的发生、发展;survivin与胰腺癌放疗、化疗敏感性相关,是胰腺癌预后的指标<sup>[5-8]</sup>。这些研究提示survivin在胰腺癌的基因治疗中具有潜在的重要价值。

目前认为survivin抑制细胞凋亡的机制可能为:(1)直接或间接抑制caspases(caspase-3、caspase-7、caspase-6、caspase-8、caspase-9、caspase-10)的活性;(2)与cdk4/P21复合物相互作用,释放出P21,P21再与caspase-3结合;(3)与Smac/DIABLO(Second mitochondria-derived activator of caspase/direct IAP binding protein with low Pi)结合并将其隔离,防止Smac/DIABLO与其他的凋亡抑制蛋白结合。对sur-

vivin在细胞分裂过程中定位的研究表明,survivin与INCENP(inner centromere protein)、Aurora-B等共同在调节细胞周期、细胞分裂的过程中扮演了重要角色。阻断survivin的表达,可以破坏微管的形成,导致多倍体的形成和细胞分裂失败<sup>[9]</sup>。

RNAi是自然界生物体的一种遗传现象,是一种由双链RNA介导的序列特异性的转录后的基因沉默过程。当外源性的双链RNA进入细胞后,被RNaseIII蛋白家族成员之一的Dicer酶所识别并被切割为21~23个核苷酸的短的双链RNA,即小干扰RNA(siRNA)。siRNA与RNA介导的沉默复合体结合后,识别并降解同源的mRNA,从而特异地抑制目的基因的表达<sup>[10]</sup>,具有高效、特异、低毒的特点。自发现以来,siRNA已广泛应用于基因功能、肿瘤和病毒性疾病治疗等的研究。本实验中,我们参考Kappler等<sup>[1]</sup>的序列,设计构建了靶向survivin的siRNA质粒表达载体,其转录产物可在体内形成由1个茎环所分离的具有反向重复序列的发卡样RNA,此RNA随后被加工成siRNA而降解靶基因mRNA,达到阻断靶基因表达的目的。本实验中所构建的siRNA质粒表达载体中含有增强的绿色荧光蛋白,可以方便地观察到转染的效果。进行RNAi研究时,目的基因靶序列的选择至关重要,针对不同的靶序列干扰的效果可能相差甚远<sup>[11]</sup>。本实验所参考Kappler等<sup>[1]</sup>的序列已证实对多种肿瘤细胞有效<sup>[12]</sup>。我们的实验亦证实该序列对胰腺癌、乳腺癌有效(另文发表),提示该序列可能具有通用性,可以作为研究靶向survivin的RNAi时的优先考虑的序列。我们采用免疫组化技术来检测survivin在蛋白质水平的表达变化有一个显著的优点,即在同一张细胞爬片上本身就存在着自身对照(转染成功的细胞和未转染的细胞),可以直观地看到RNAi的效果。

RT-PCR和免疫组化检测结果表明,本实验中所构建的靶向survivin的siRNA质粒表达载体具有高度特异性,可以有效地抑制PC-2细胞survivin的表达。抑制PC-2细胞survivin基因的表达可以显著抑

制 PC-2 细胞的增殖并诱发一定程度的自发凋亡,提示靶向 survivin 的 siRNA 在胰腺癌的治疗中具有一定价值,为今后进一步研究提供了必要的实验基础。

### 参考文献:

- [1] Kappeler M, Bache M, Baterl F, et al. Knockdown of survivin expression by small interfering RNA reduce the clonogenic survival of human sarcoma cell lines independently of P53[J]. *Cancer Gene Ther*, 2004, 11(3): 186-93.
- [2] Westphal S, Kalthoff H. Apoptosis: targets in pancreatic cancer[J]. *Mol Cancer*, 2003, 2(1): 6.
- [3] Yamamoto T, Tanigawa N. The role of survivin as a new target of diagnosis and treatment in human cancer[J]. *Med Electron Microsc*, 2001, 34(4): 207-12.
- [4] Coma S, Noe V, Lavarino C, et al. Use of siRNAs and antisense oligonucleotides against survivin RNA to inhibit steps leading to tumorangiogenesis[J]. *Oligonucleotides*, 2004, 14(2): 100-13.
- [5] Satoh K, Kaneko K, Hirota M, et al. Expression of survivin is correlated with cancer cell apoptosis and is involved in the development of human pancreatic duct cell tumors [J]. *Cancer*, 2001, 92(2): 271-8.
- [6] Asanuma K, Kobayashi D, Furuya D, et al. A role for survivin in radioresistance of pancreatic cancer cells[J]. *Jpn J Cancer Res*, 2002, 93(9): 1057-62.
- [7] Kami K, Doi R, Koizumi M, et al. Survivin expression is a prognostic marker in pancreatic cancer patients[J]. *Surgery*, 2004, 136(2): 443-8.
- [8] 刘江伟,李开宗,窦科峰,等. Survivin 反义寡核苷酸诱导胰腺癌细胞凋亡并增加吉西他滨的化疗敏感性[J]. *中华普通外科杂志*, 2004, 19(7): 401-3.
- [9] Liu JW, Li KZ, Dou KF, et al. Survivin antisense oligonucleotide induces apoptosis and sensitizes pancreatic cancer cells to Gemcitabine[J]. *Chin J Gen Surg*, 2004, 19(7): 401-3.
- [10] Chiou SK, Jones MK, Tarnawski AS. Survivin—an anti-apoptosis protein: its biological roles and implications for cancer and beyond [J]. *Med Sci Monit*, 2003, 9(4): 143-7.
- [11] Cheng JC, Moore TB, Sakamoto KM. RNA interference and human disease[J]. *Mol Genet Metab*, 2003, 80(1-2): 121-8.
- [12] Luo KQ, Chang DC. The gene-silencing efficiency of siRNA is strongly dependent on the local structure of mRNA at the targeted region [J]. *Biochem Biophys Res Commun*, 2004, 318(1): 303-10.
- [13] 卢昕,郑启昌,熊俊,等. siRNA 抑制肝癌细胞株 HepG2 survivin 基因表达的研究[J]. *华中科技大学学报(医学版)*, 2004, 33(6): 696-9.
- [14] Lu X, Zheng QC, Xiong J, et al. Inhibitory effect of siRNA on Survivin expression in HepG2 cells [J]. *J Huazhong Univ Sci Tech (Health Sci)*, 2004, 33(6): 696-9.

(上接 168 页)

- [2] 刘宇虎,张振书,肖冰,等.人源性大肠癌 cDNA 噬菌体表达文库的构建及鉴定[J].*中华消化杂志*,2003,23(10): 599-602.  
Liu YH, Zhang ZS, Xiao B, et al. Construction and identification of human colorectal carcinoma cDNA phage expression library [J]. *Chin J Dig*, 2003, 23(10): 599-602.
- [3] 刘宇虎,张振书.应用 SEREX 技术筛选肿瘤抗原的研究进展[J].*实用癌症杂志*,2003,18(3): 320-2.
- [4] 刘宇虎,张振书,钟东,等.人源性大肠癌抗原基因的 SEREX 筛选[J].*世界华人消化杂志*,2003,11(9): 1378-81.  
Liu YH, Zhang ZS, Zhong D, et al. Screening of human colorectal carcinoma associated antigen genes by SEREX [J]. *World Chin J Digestol*, 2003, 11(9): 1378-81.
- [5] Scanlan MJ, Chen YT, Williamson B, et al. Characterization of human colon cancer antigens recognized by autologous antibodies[J]. *Int J Cancer*, 1998, 76(5): 652-8.
- [6] Hampton TA, Conry RM, Khazaie MB, et al. SEREX analysis for tumor antigen identification in a mouse model of adenocarcinoma [J]. *Cancer Gene Ther*, 2000, 7(3): 446-55.
- [7] Line A, Slucka Z, Stengrevics A, et al. Characterization of tumour-associated antigens in colon cancer [J]. *Cancer Immunol Immunother*, 2002, 51(10): 574-82.

- [8] Altschul SF, Madden TL, Schaffer AA, et al. Gapped BLAST and PSI-BLAST: a new generation of protein database search programs [J]. *Nucleic Acids Res*, 1997, 25(17): 3389-402.
- [9] Debladre GA, Marinop OP, Evans SS, et al. Expression cloning of an interferon-inducible 17-kDa membrane protein implicated in the control of cell growth[J]. *J Biol Chem*, 1995, 270(40): 23860-6.
- [10] Sulston JE, Waterston R. Toward a complete human genome sequence [J]. *Genome Res*, 1998, 8(11): 1097-108.
- [11] Ridanpaa M, van Eenennaam H, Pelin K, et al. Mutations in the RNA component of RNase MRP cause a pleiotropic human disease, cartilage-hair hypoplasia[J]. *Cell*, 2001, 104(2): 195-203.
- [12] Strausberg RL, Feingold EA, Grouse LH, et al. Generation and initial analysis of more than 15 000 full-length human and mouse cDNA sequences[J]. *Proc Natl Acad Sci USA*, 2002, 99(26): 16899-903.
- [13] Shuford W, Raff HV, Finley JW, et al. Effect of light chain V region duplication on IgG oligomerization and *in vivo* efficacy[J]. *Science*, 1991, 252(5006): 724-7.
- [14] Paterson T, Innes J, McMillan L, et al. Variation in IgG1 heavy chain allotype does not contribute to differences in biological activity of two human anti-rhesus (D) monoclonal antibodies [J]. *Immunotechnology*, 1998, 4(1): 37-47.